

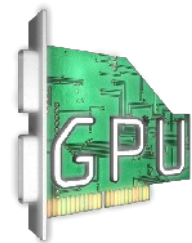
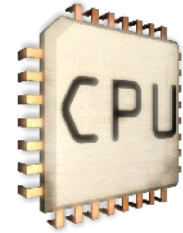
**GPU версия CFD пакета SigmaFlow:
портирование и оптимизация с использованием
инструментария TTG Apptimizer**

Авторы:

Гаврилов А.А.,
Кривов М.А.,
Гризан С.А.,
Дектерёв А.А.

Распределение ролей

- Разработка пакета SigmaFlow (1993 — н.м.)
 - Красноярский филиал института Теплофизики СО РАН
 - Кафедра теплофизики СФУ
 - ООО «ТОРИНС»
- Портирование пакета SigmaFlow на GPU (2012-н.м.)
 - ООО «ТТГ Лабс»



Детали в «Суперкомпьютерах»



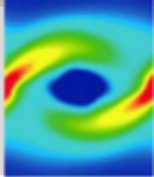
Страницы 50 - 53

Схема выступления

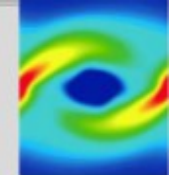
- О пакете SigmaFlow
- Этап 1. Подготовка
- Этап 2. Портирование
- Этап 3. Оптимизация
- Результаты

Схема выступления

- **О пакете SigmaFlow**
- Этап 1. Подготовка
- Этап 2. Портирование
- Этап 3. Оптимизация
- Результаты



- пространственные стационарные и нестационарные ламинарные и турбулентные течения;
- процессы смешения и диффузии неоднородных газовых смесей;
- химические реакции в потоке, горение газообразного, жидкого и твердого топлива;
- конвективный, радиационный теплообмен, теплопроводность;
- движение дисперсной фазы (твердые частицы, капли) в потоке газа;
- процессы сушки, пиролиза и горения частиц дисперсной фазы;
- процессы с фазовыми переходами (кавитация, кристаллизация);
- течения со свободной поверхностью;
- течения со взаимодействием газа с подвижными твердыми телами;
- течения с объемными силами;
- деформация упругой среды;
- аэроупругость.



уравнение неразрывности

$$\frac{\partial \rho}{\partial t} + \nabla(\rho \mathbf{v}) = 0$$

уравнения баланса количества движения

$$\frac{\partial \rho \mathbf{v}}{\partial t} + \nabla(\rho \mathbf{v} \cdot \mathbf{v}) = \boldsymbol{\tau} \nabla p + \nabla(\rho \mathbf{g} + \rho \mathbf{b}) + (\rho - \rho_\infty) \mathbf{g}$$

уравнение переноса энергии

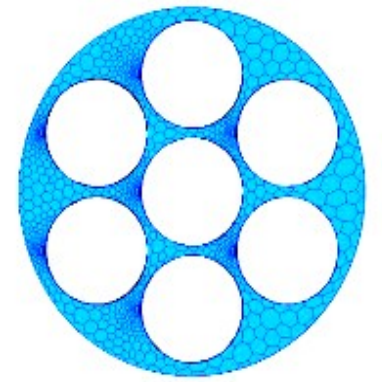
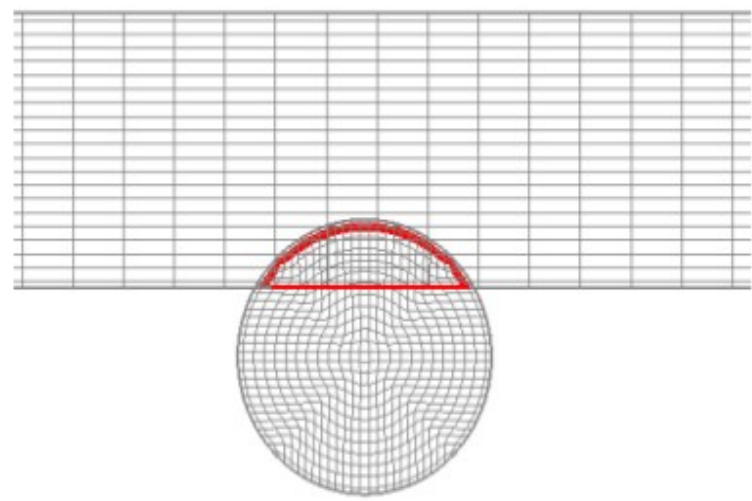
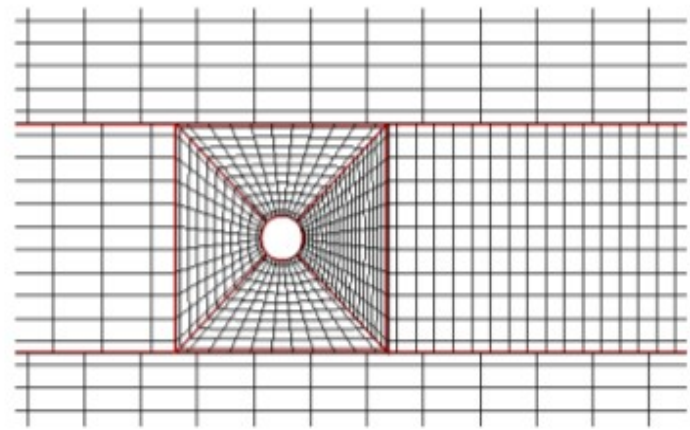
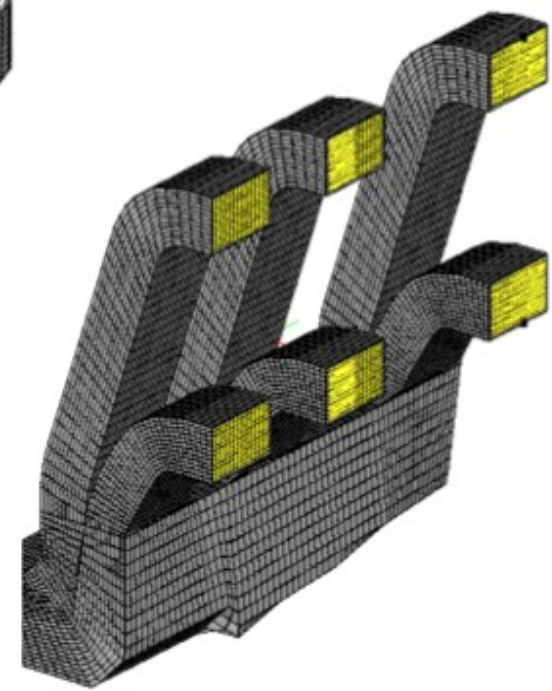
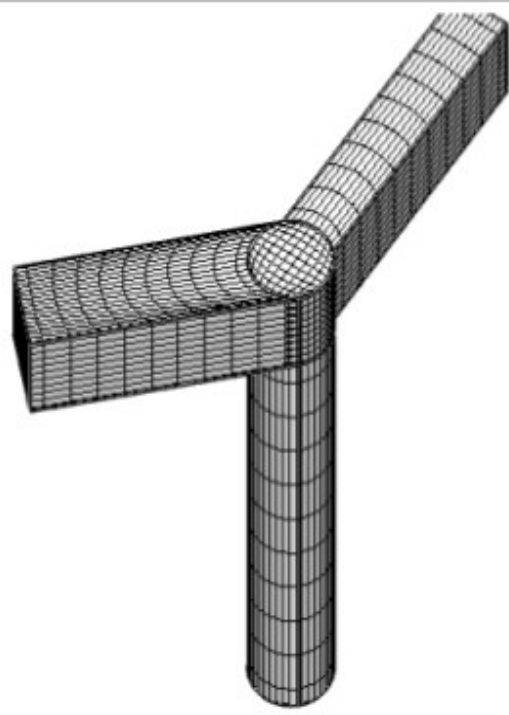
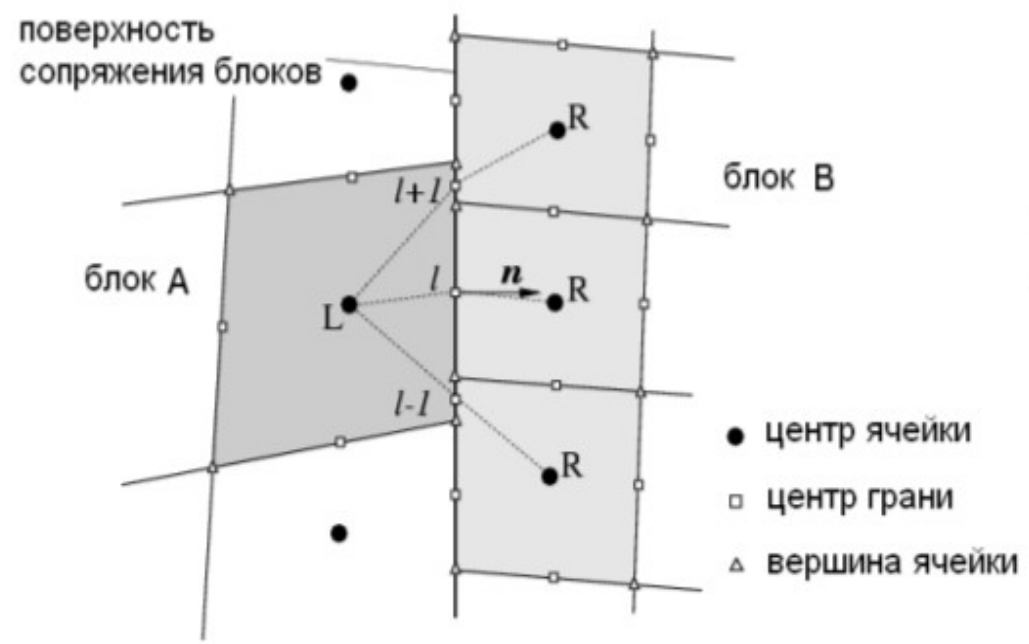
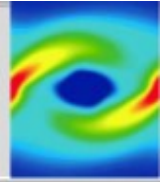
$$\frac{\partial \rho h}{\partial t} + \nabla(\rho \mathbf{v} \cdot h) = \nabla \left(\left(\lambda + \frac{c_p \mu_t}{Pr_t} \right) \cdot \nabla T \right) + Q$$

уравнение переноса концентрации (массовой доли) i-го компонента

$$\frac{\partial \rho f_i}{\partial t} + \nabla(\rho \mathbf{v} \cdot f_i) = \nabla \left(\left(D_i + \frac{\mu_t}{Sc_i} \right) \cdot \nabla f_i \right) + S_i$$



Расчетные сетки



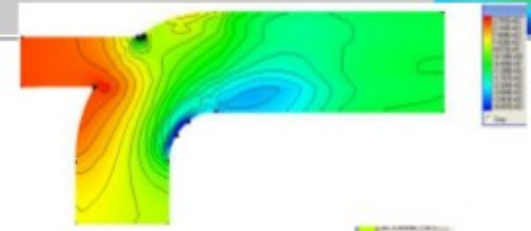
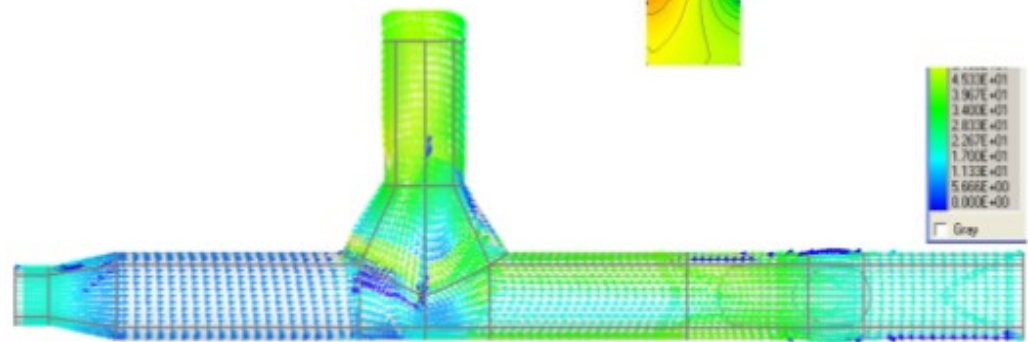
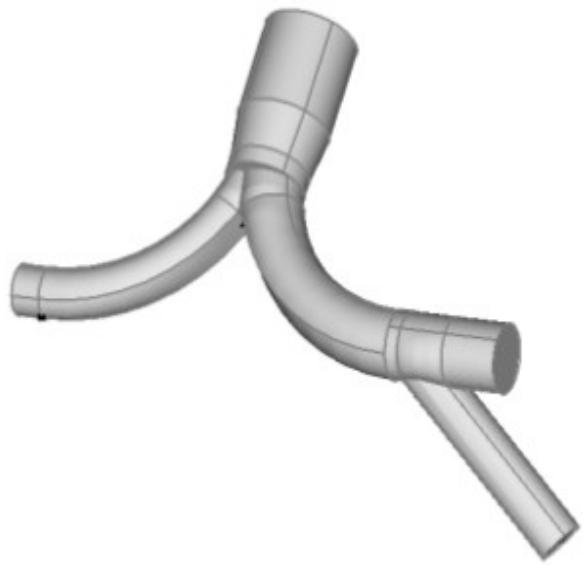
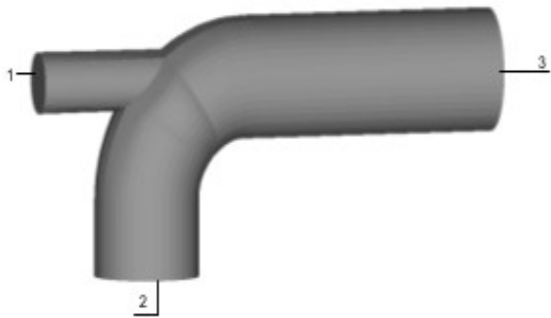
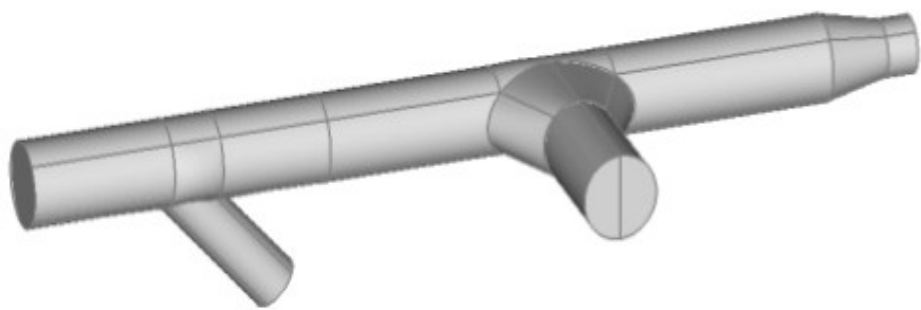
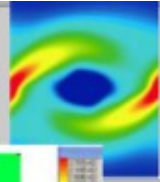
несогласованные многоблочные сетки

перекрывающиеся сетки

полиэдральные сетки

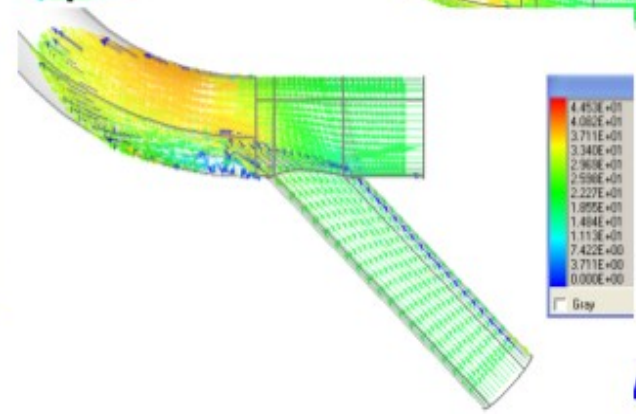
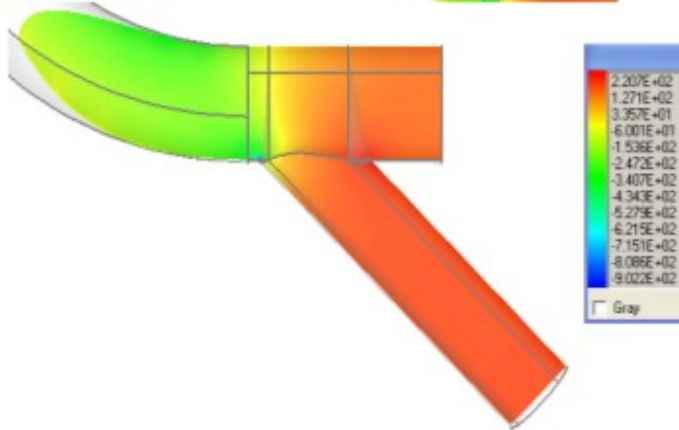
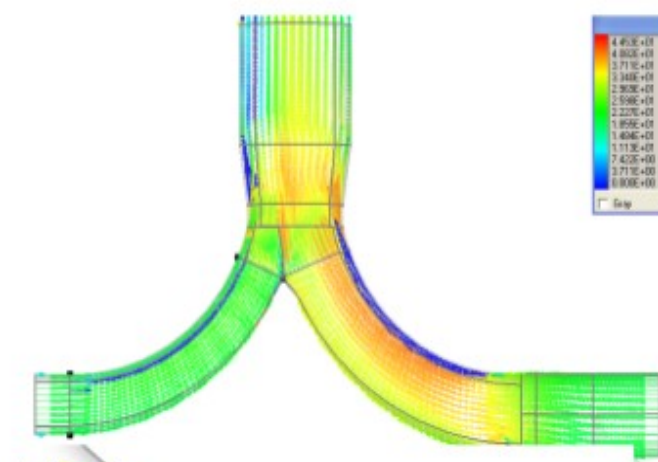
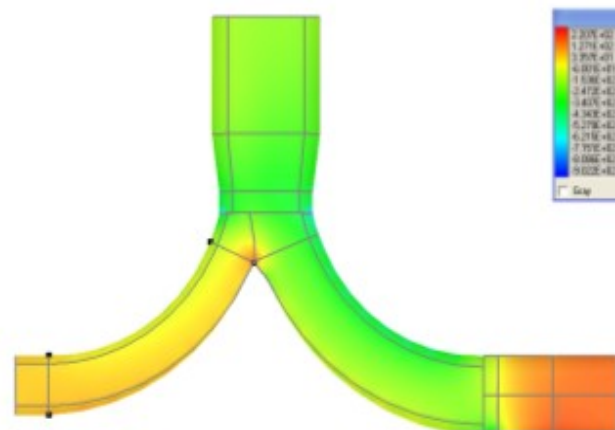


ГАЗОХОДЫ



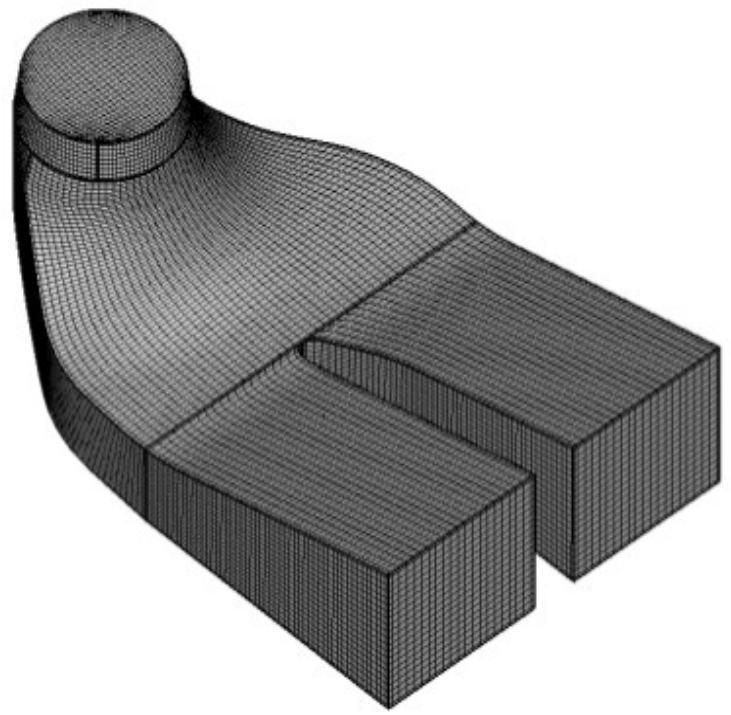
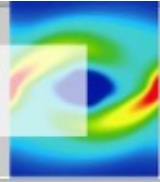
Поле давления

Поле скорости





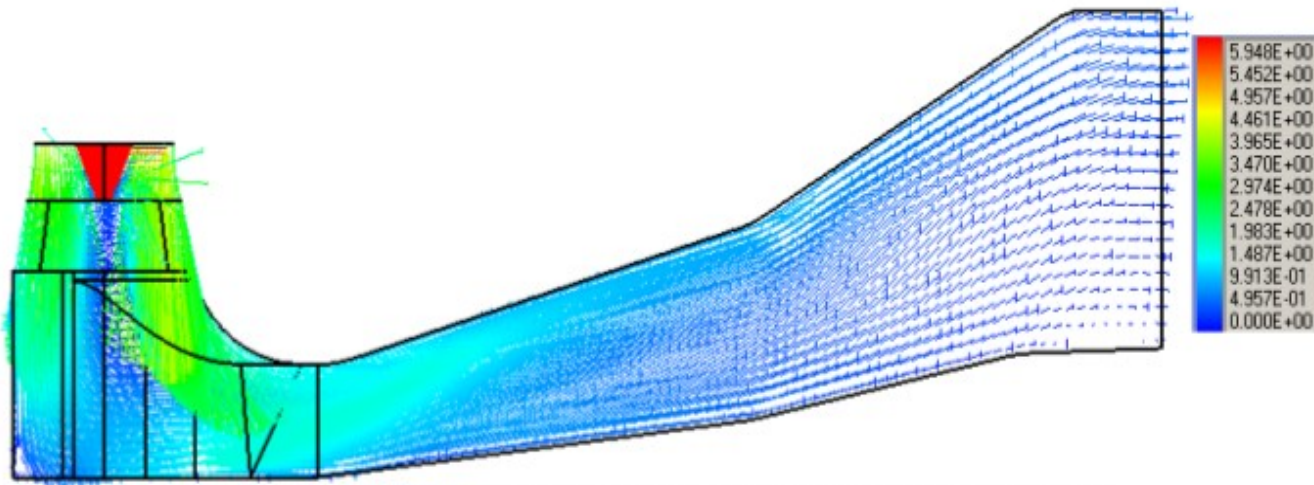
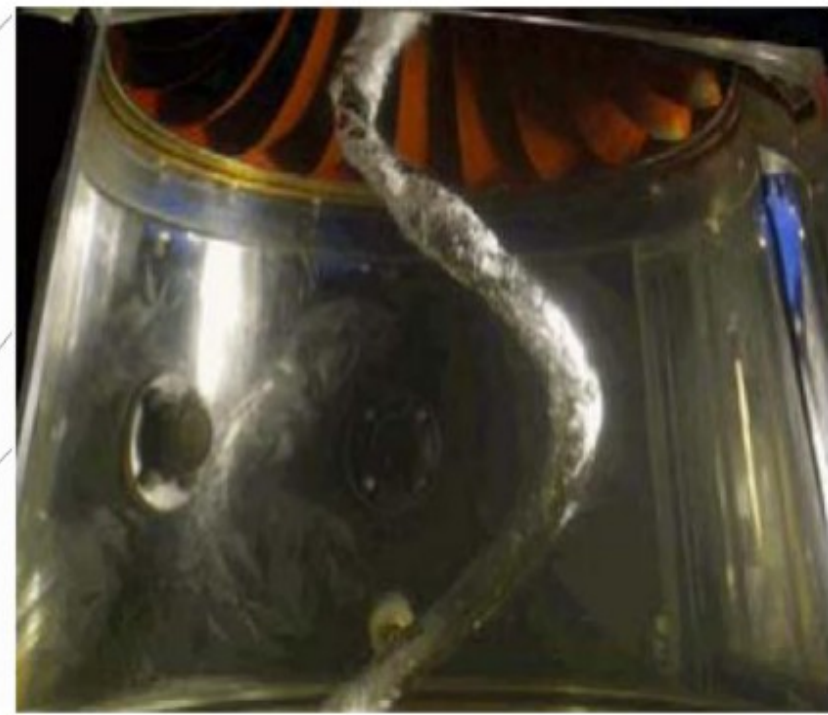
Расчет течения в отсасывающей трубе Усть-Ильимской ГЭС



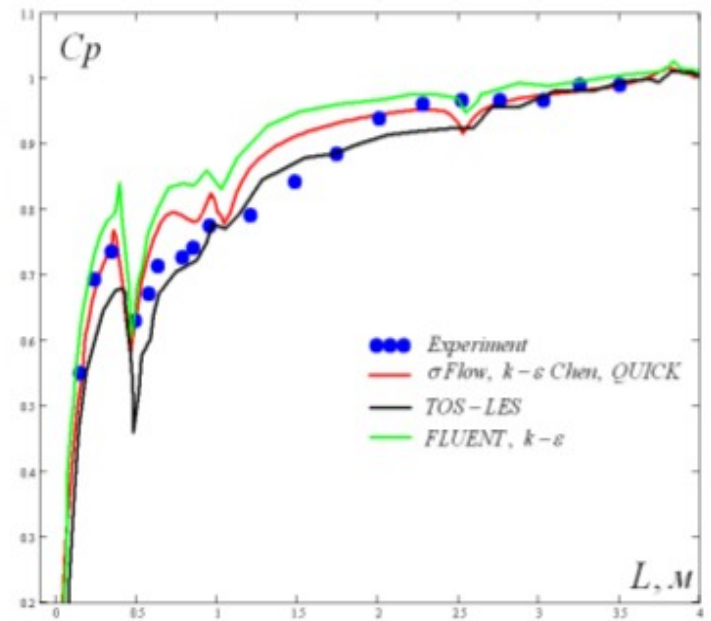
Расчетная сетка



Прецессия вихревого ядра

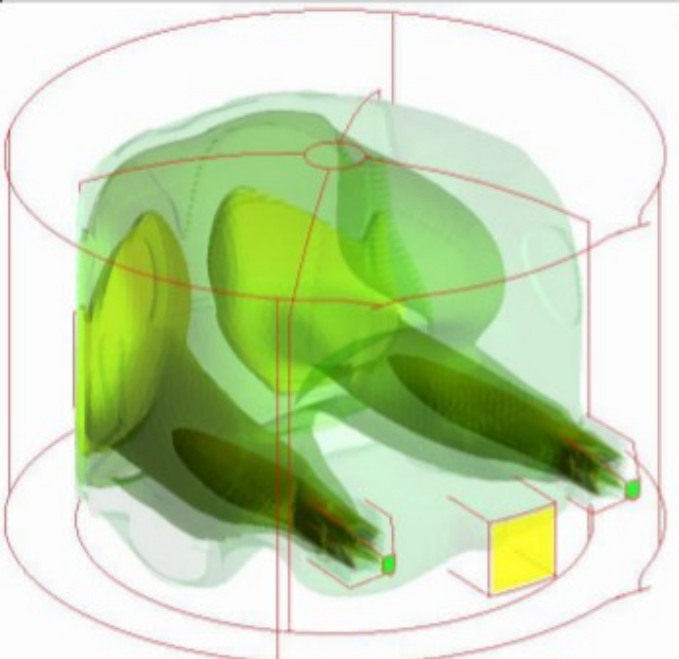
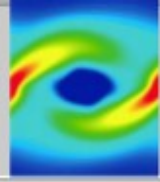


Осредненное поле вектора скорости сечения трубы

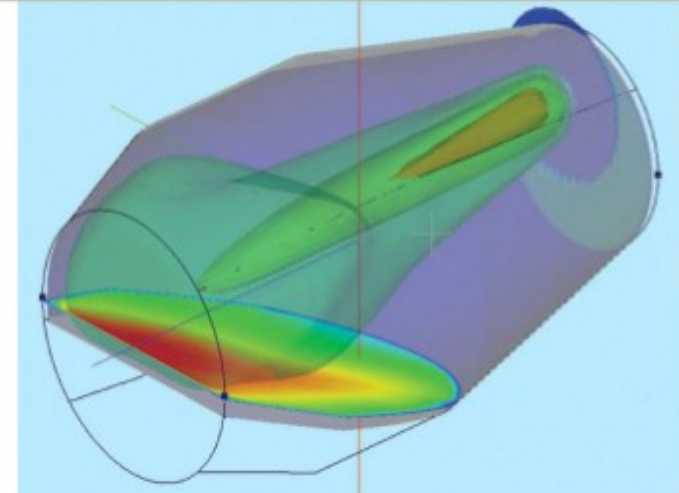
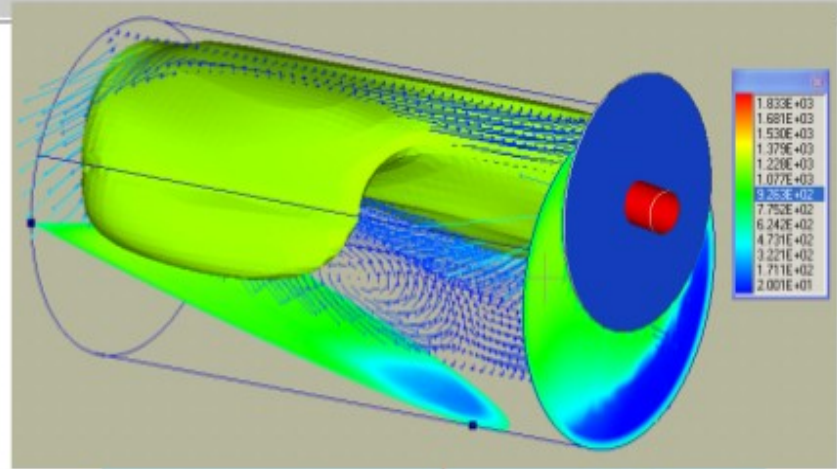




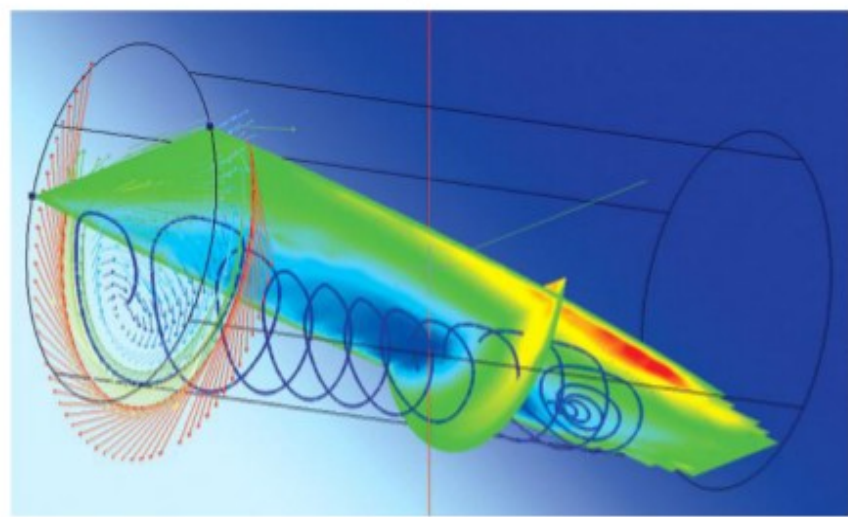
МЕТАЛЛУРГИЧЕСКИЕ ПЕЧИ



Факел в отражательной печи



Температура факела и поверхности шихты в роторной печи



Движение металла в роторной печи

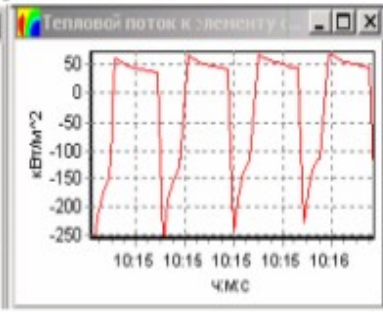


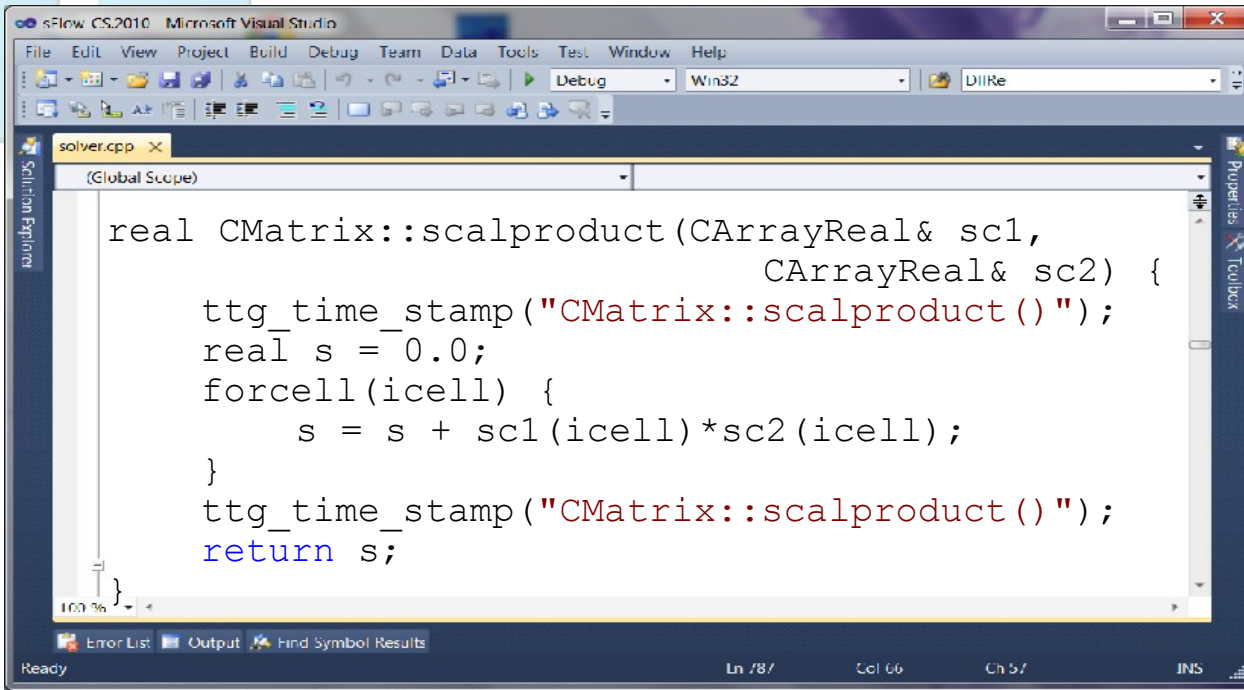
Схема выступления

- О пакете SigmaFlow
- **Этап 1. Подготовка**
- Этап 2. Портирование
- Этап 3. Оптимизация
- Результаты

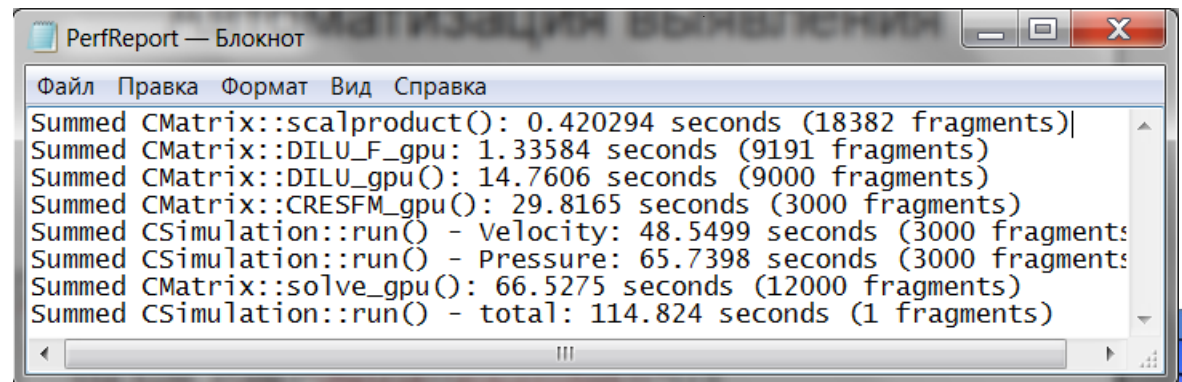
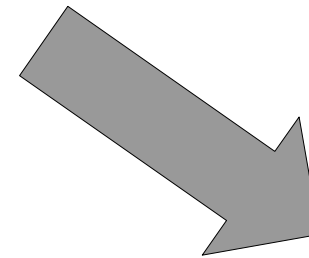
Автоматизация выявления «узких» мест

- **Проблема:** в зависимости от типа сеток и алгоритмов «узкие» места перестают быть «узкими», и наоборот
 - На одной сетке «узким» местом является предобуславливатель, а на другой сетке — скалярное произведение
 - Профайлеры типа [Intel Parallel Studio](#) оказываются малоприменимы
- **Решение:** использование временных меток
 - Возможность учитывать реальную структуру программы
 - Возможность нужной автоматизации процесса профилировки
 - Учёт как CPU, так и GPU специфики

Автоматизация выявления «узких» мест



```
sFlow CS.2010 Microsoft Visual Studio
File Edit View Project Build Debug Team Data Tools Test Window Help
Debug Win32 DllRe
solver.cpp
(Global Scope)
real CMatrix::scalproduct(CArrayReal& sc1,
                          CArrayReal& sc2) {
    ttg_time_stamp("CMatrix::scalproduct()");
    real s = 0.0;
    forcell(icell) {
        s = s + sc1(icell)*sc2(icell);
    }
    ttg_time_stamp("CMatrix::scalproduct()");
    return s;
}
```



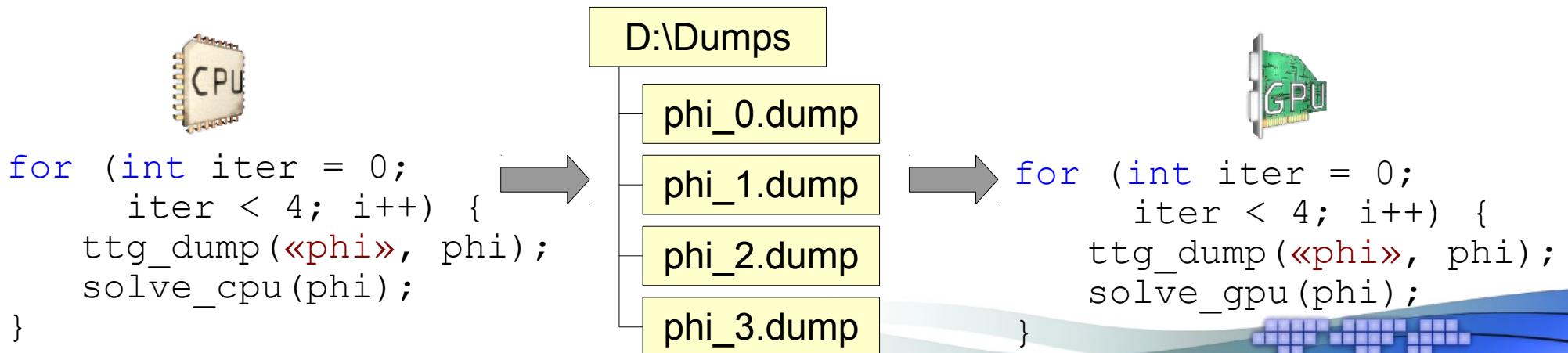
```
PerfReport — Блокнот
Файл Правка Формат Вид Справка
Summed CMatrix::scalproduct(): 0.420294 seconds (18382 fragments)|
Summed CMatrix::DILU_F_gpu: 1.33584 seconds (9191 fragments)
Summed CMatrix::DILU_gpu(): 14.7606 seconds (9000 fragments)
Summed CMatrix::CRESFM_gpu(): 29.8165 seconds (3000 fragments)
Summed CSimulation::run() - Velocity: 48.5499 seconds (3000 fragments)
Summed CSimulation::run() - Pressure: 65.7398 seconds (3000 fragments)
Summed CMatrix::solve_gpu(): 66.5275 seconds (12000 fragments)
Summed CSimulation::run() - total: 114.824 seconds (1 fragments)
```

Автоматизация проверки корректности

- **Проблема:** как понять, что в результате портирования на GPU программа не «сломалась»?
- **Идея решения:** сравнивать результаты с эталонными (так называемой gold-версией)
 - Не подходит, т. к. из-за большого объёма вычислений накапливается существенная погрешность, вносимая:
 - Атомарными операциями
 - Иным порядком редукции массивов
 - Другой реализацией некоторых GPU-ядер

Автоматизация проверки корректности

- **Решение:** сравнивать промежуточные данных
 - Шаг 1. Запускается исходная версия программы, которая выгружает все нужные промежуточные массивы в dump-файлы
 - Шаг 2. Запускается изменённая версия программы, которая сравнивает текущие значения с эталонными по нормам L2 и C
 - Шаг 3. Подготавливается отчёт о найденных отличиях



Пример автоматизации проверки корректности

- Отличия промежуточных данных в CPU и GPU версиях пакета SigmaFlow в зависимости от номера итерации

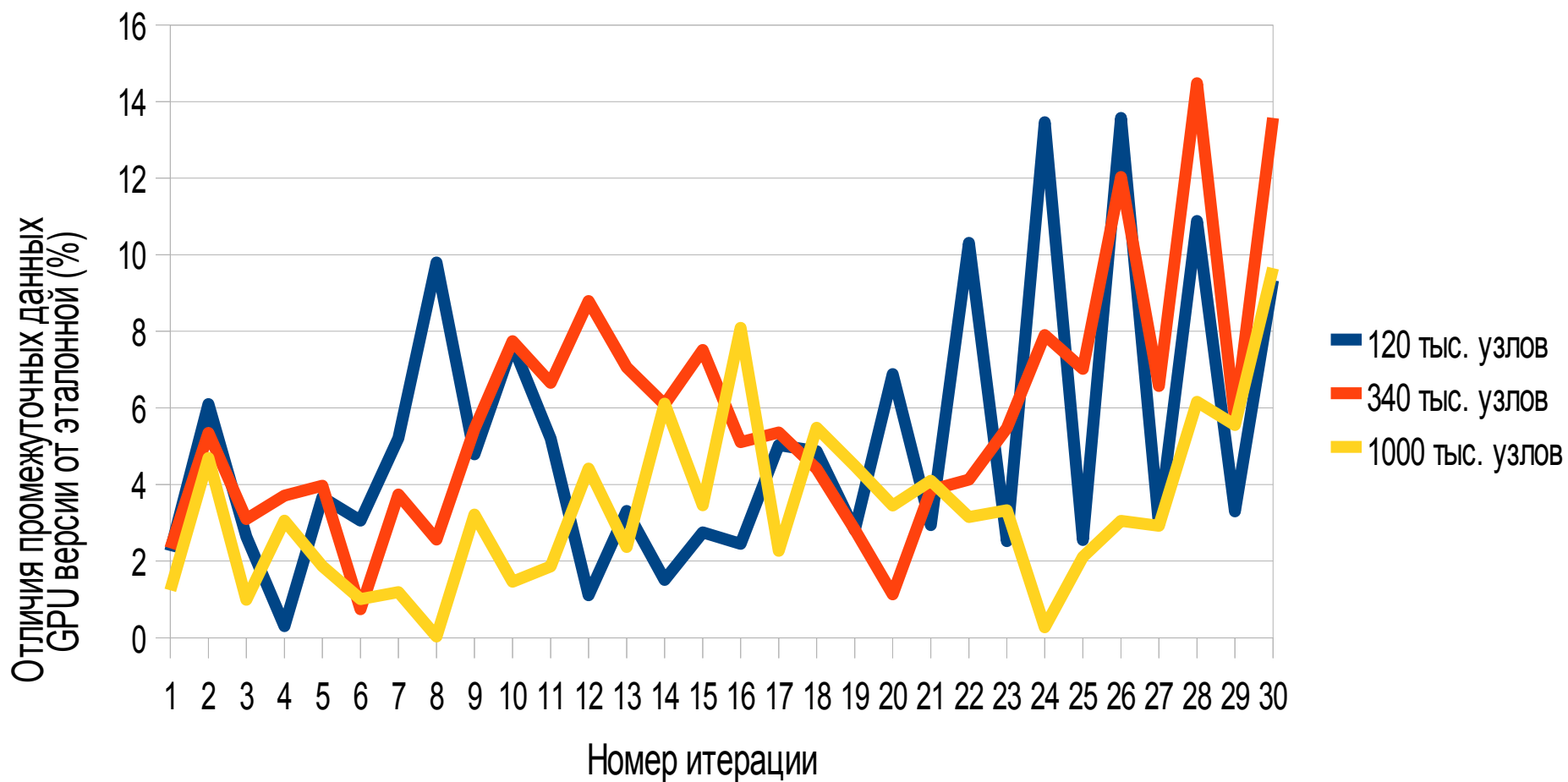
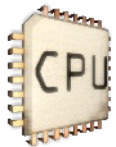


Схема выступления

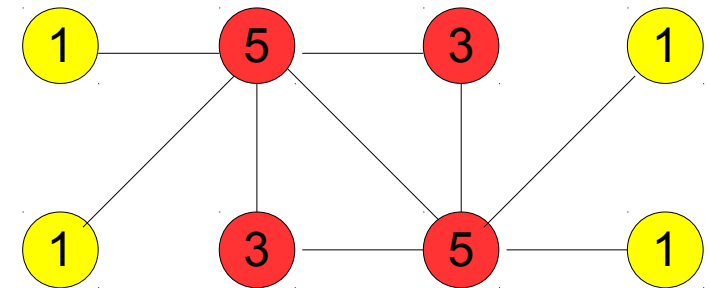
- О пакете SigmaFlow
- Этап 1. Подготовка
- **Этап 2. Портирование**
- Этап 3. Оптимизация
- Результаты

Проблема 1: гонка данных

- В некоторых ядрах обход графа, соответствующего сетке, осуществляется по рёбрам



```
for (int i=0; i<bounds.size();i++)  
{  
    cells[bounds[i].s] += f(i);  
    cells[bounds[i].r] += g(i);  
}
```



При переносе подобного кода на GPU происходит гонка данных при записи значений в массив cells.

Проблема 1: гонка данных

- Решение 1: использование атомарных операций



```
int i = threadIdx.x + blockIdx.x*blockDim.x;
if (int i < bounds_size)
{
    atomicAdd(&cells[bounds_s[i], f(i));
    atomicAdd(&cells[bounds_r[i]], g(i));
}
```

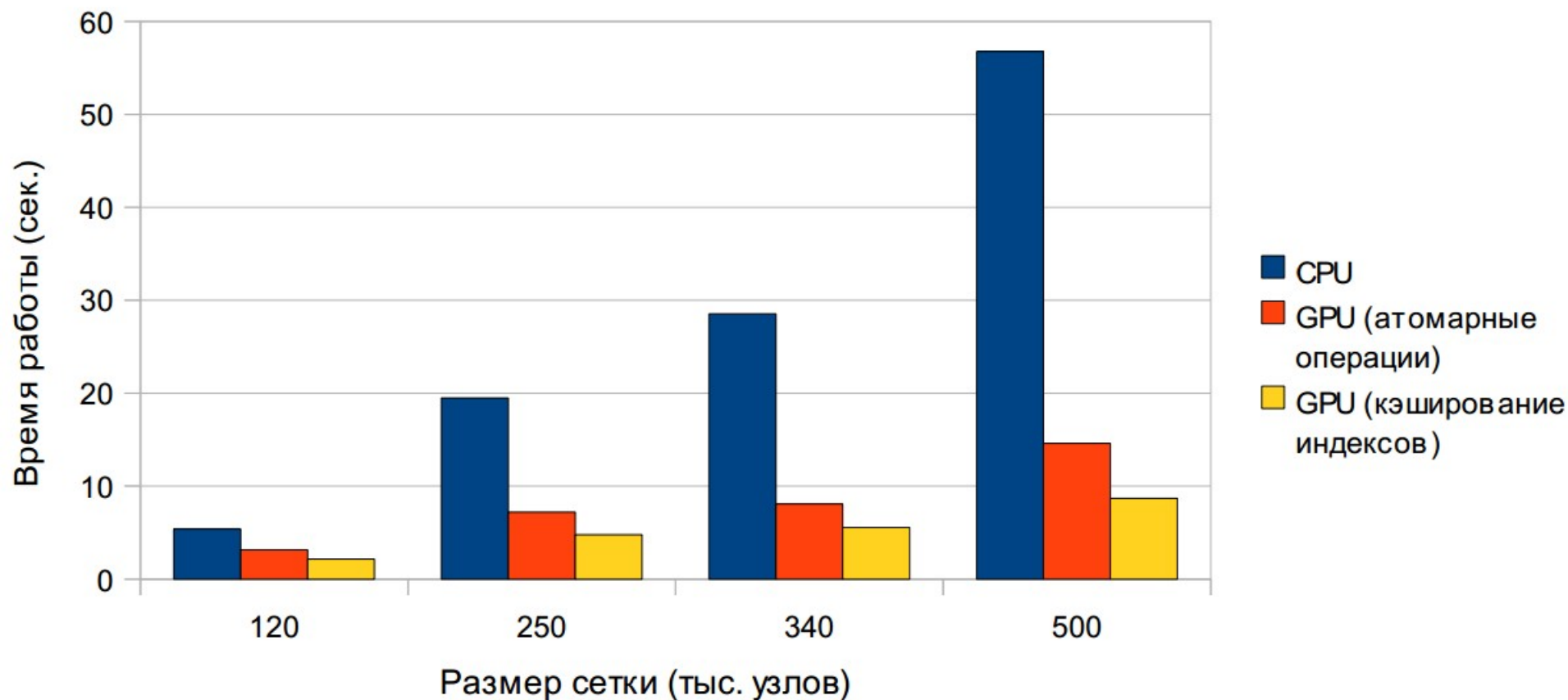
- Решение 2: использование вспомогательного массива с индексами и обход графа по вершинам



```
int i = threadIdx.x + blockIdx.x*blockDim.x;
if (int i < cells_size)
{
    real cell = cells[i];
    for (int j=0; j<conn_size;j++)
        cell += h(conn[j]);
    cells[i] = cell;
}
```

Проблема 1: гонка данных

- Тестирование обоих подходов на CUDA GPU с CC 2.0 (Fermi)



Проблема 2: реализация паттерна parallel scan

- Исходный метод:

$$z_P = d_P^{-1} \left(f_P - (A\phi^k)_P - \sum_{S < P} L_{SP} z_S \right)$$
$$x_P = z_P - d_P^{-1} \sum_{S > P} U_{SP} x_S; \quad P = \overline{1, N}$$
$$\phi_P^{k+1} = \phi_P^{k+1} + x_P$$

- Схематичная реализация первого шага

```
for (int p = 0; p < cells.size(); p++) {  
    real val = g(p);  
    for (int i = 0; i < neighbours[p].size(); i++) {  
        {  
            int s = neighbours[p][i];  
            if (p > s)  
                val += out[p] * coeff[s];  
        }  
        out[p] = val;  
    }  
}
```

Невозможно сделать параллельную реализацию для
общего случая

Проблема 2: реализация паттерна parallel scan

- **Решение:** переход к итерационному варианту

```
for (int iter=0; iter < 10; iter++) {
    for (int p = 0; p < cells.size(); p++) {
        real val = g(p);
        for (int i = 0; i < neighbours[p].size(); i++) {
            {
                int s = neighbours[p][i];
                if (p > s)
                    val += out1[p] * coeff[s];
            }
            out2[p] = val;
        }
        swap(out1, out2);
    }
}
```

- Следствие 1: требуется в разы больше операций
- Следствие 2: возможно создать реализацию для GPU

Проблема 3: нехватка регистров

- Пример заголовка одного требуемого CUDA-ядра:

```
__global__ void fvmDivcd_Faces(  
    real *cdif, real *spk, real *ap,  
    real *rhs_x, real *rhs_y, real *rhs_z,  
    real *face_aps, real *face_asp,  
    int *faces_idp, int *faces_ids, real *faces_area, real *faces_g1,  
    real *faces_norm_x, real *faces_norm_y, real *faces_norm_z,  
    real *faces_fac,  
    real *rcv_x, real *rcv_y, real *rcv_z,  
    real *faceflux,  
    real *fi_scalar_0, real *fi_scalar_1, real *fi_scalar_2,  
    Vec3<real *> fi_scalar_0_grad,  
    Vec3<real *> fi_scalar_1_grad,  
    Vec3<real *> fi_scalar_2_grad,  
    real _tiny, int nfaces);
```

34 аргумента!

- **Проблема:** скомпилированное ядро «вылетает» с ошибкой
- **Проблема:** на CC 1.3 не хватает памяти для аргументов

Схема выступления

- О пакете SigmaFlow
- Этап 1. Подготовка
- Этап 2. Портирование
- **Этап 3. Оптимизация**
- Результаты

Оптимизация работы с памятью

- Переиспользование временных буферов на GPU

```
void Kernel()  
{  
    int *buf;  
    cudaMalloc(&buf, size);  
    //...  
    cudaFree(buf);  
}
```



```
void Kernel()  
{  
    int *buf = GetBuffer(size);  
    cudaMalloc(&buf, size);  
    //...  
    ReleaseBuffer(buf);  
}
```

- Отказ от синхронного обнуления массивов

```
class Array  
{  
    int *gpuMem, *cpuMem;  
    void Clear()  
    { cudaMemset(gpuMem, ...);  
      memset(cpuMem, ...); }  
};
```



```
class Array  
{  
    int *gpuMem, *cpuMem;  
    void Clear()  
    { if (onGpu)  
      cudaMemset(gpuMem, ...);  
      else  
        memset(cpuMem, ...); }  
};
```

Изменение вывода в log-файлы

- Замена `std::cout` на `printf()`
- Отказ от операции `flush` на каждой итерации

```
while (eps > 10e-6)
{
    //...
    std::cout << «Iteration #» << N;
    std::cout.flush()
}
```

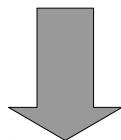


```
while (eps > 10e-6)
{
    //...
    printf(«Iteration #%d», N);
}
```

Оптимизация ядер с помощью TTG Apptimizer

- Шаг 1. Для основных CUDA-ядер вводится дополнительный параметр тяжеловестности нитей

```
__global__ void Copy(int *dst, int *src)
{
    int i = threadIdx.x + blockIdx.x * blockDim.x
    dst[i] = src[i];
}
```



```
template <int N>
__global__ void Copy(int *dst, int *src)
{
    int i = threadIdx.x + blockIdx.x * blockDim.x * N;
    int buf[N];
    #pragma unroll
    for (int j = 0; j < N; j++)
        buf[i + j * blockDim.x] = src[i + j * blockDim.x];
    #pragma unroll
    for (int j = 0; j < N; j++)
        dst[i + j * blockDim.x] = buf[i + j * blockDim.x];
}
```

Оптимизация ядер с помощью TTG Apptimizer

- Шаг 2. Подбор данного параметра, а также размера блока, поручается автотюнеру.

```
EnumParameter<int> blockDim («{64, 128, 256, 512}»);  
EnumParameter<int> pointsPerThread («{ 1, 2, 4, 8}»);  
  
//...  
dim3 threads(blockWidth);  
dim3 grid(size / blockDim);  
CopyN<<<grid, threads>>>(dst, src, pointsPerThread);
```

В зависимости от типа / размера сеток и модели GPU значения для параметров `blockWidth` и `pointsPerThread` будут подменяться на оптимальные

Результаты

- Эффект от проведённых оптимизаций
 - Переиспользование временных буферов: +23%
 - Отказ от излишних вызовов `memset()`: +15%
 - Переход на `printf()`: +5-7%
 - Использование TTG Apptimizer: +10-15%
 - Оптимизация отдельных ядер: +30%
- Итоговое ускорение:
x2.1 раза, или 6.5 минут против 14 на сетке из 1 млн. узлов.

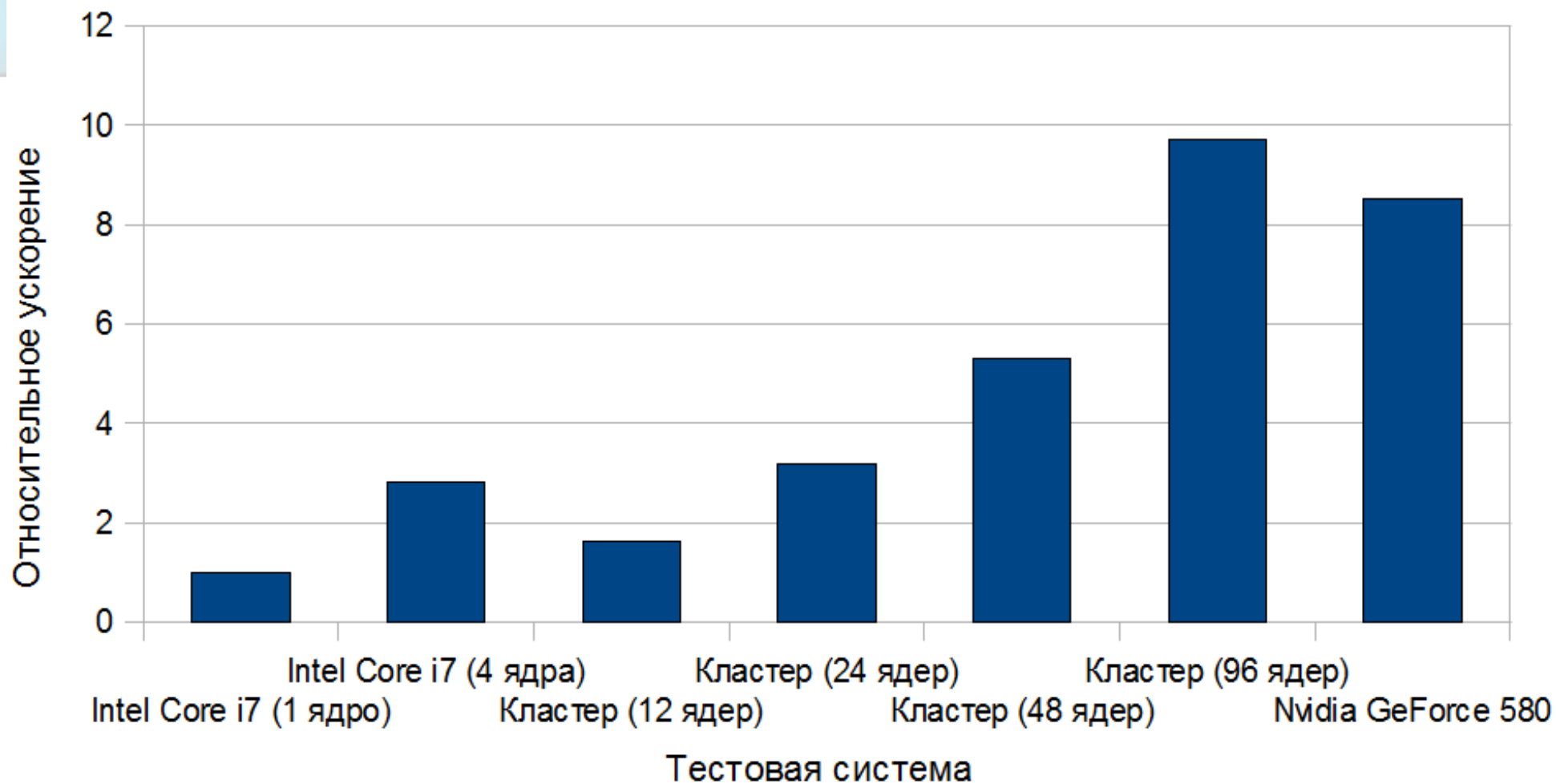
Схема выступления

- О пакете SigmaFlow
- Этап 1. Подготовка
- Этап 2. Портирование
- Этап 3. Оптимизация
- **Результаты**

Тестовые системы

- GPU **NVidia** GeForce 580 GTX
 - 512 ядер @ 1.5 GHz
 - Порядка 1.5 GFlops на одинарной точности
- CPU **Intel** Xeon E3-12x0 / **Intel** Core i7
 - 4 ядра @ 3.4 / 4.4 GHz
 - 108 / 140 GFlops на одинарной точности
- Кластер из узлов **IBM** Blade HS21
 - 12 узлов, суммарно 96 ядер @ 2.33 GHz
 - 895 GFlops на одинарной точности

Результаты тестирования на сетке из 4 млн. узлов



Результаты тестирования на разных сетках

